

Assessing the Impact of Climate Change on Water Requirements and Productivity of Improved Arabic wheat crops in the Sana'a Basin

Hassan Mutahhar Amer*, Abdullah Mohammad Yaya and Adel Mohammad Al-Weshali.

Department of Agricultural Engineering and Modern Technologies, College of Agriculture, Food, and Environment, Sana'a University, Yemen.

*Corresponding author: hmamer2005@gmail.com

ARTICLE INFO

Article history: 3 - August-2025
 Received: 22 - October -2025
 Accepted: 27 - November - 2025
 Published: 28 December 2025

KEYWORDS

- 1- Climate Changes
- 2- water requirements
- 3- Production
- 4- Wheat Crop
- 5- Aqua Crop

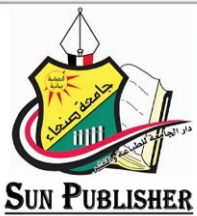
ABSTRACT

The study aimed to analyze the impact of climate change on water requirements and productivity of improved Arabic wheat in the Sana'a Basin, by conducting field experiments for two agricultural seasons (2023-2024 AD) on the farm of the Faculty of Agriculture, Sana'a University. It included three irrigation treatments: (full irrigation (I_1), 75% deficit irrigation (I_2), and 50% deficit irrigation (I_3) of the full irrigation) using a randomized complete block design. The Aqua Crop model was used for modeling, calibrated with data from the first agricultural season of 2023 and validated with data from the second agricultural season of 2024. The model was validated using three global climate models: CNRM-CM5, GFDL-ESM2M, and EARTH-EC, and two gas emission scenarios: Rcp4.5 and Rcp8.5, for each model, and at an increased and constant CO₂ concentration (350 ppm).

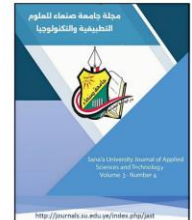
The study revealed that irrigation treatment (I_2) achieved the highest water productivity (WP_{ET}) values during the two seasons, ranging from 0.72 to 0.69 tons/m³, respectively. Its water permeability (WP_I) ranged from 0.74 to 0.72 tons/m³, respectively.

The correlation coefficient (R²) showed high agreement between the calculated and predicted values for grain productivity and biomass for the two seasons, ranging from 99.93 to 100. and (99, 95%) (%), respectively. The grain productivity values for the two seasons were higher in irrigation treatment (I_1), ranging between (2.27, 2.52) (tons/ha), respectively, compared to irrigation treatments (I_2) and (I_3), which ranged between (2.15, 1.95), (1.0, 1.02) (tons/ha), respectively, at a significance level of (0.05). Climate changes recorded an increase in maximum temperatures by 2.47°C for the RCP8.5 scenario and the period 2040–2059, according to the EC-Earth model. Meanwhile, rainfall recorded a decrease of 16.18 mm in the RCP8.5 scenario for the same period and the GFDL-ESM2M model, compared to the reference (historical) period (2005 , 1986)

With increased CO₂, irrigation treatment (I_1) achieved the highest grain productivity value. (3.24) (tons/ha) according to the RCP8.5 scenario for the period (2020-2039), while under constant CO₂, the lowest value was recorded for irrigation treatment (I_3) (0.82) (tons/ha) according to the RCP4.5 scenario for the same period.

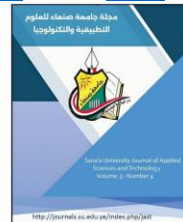
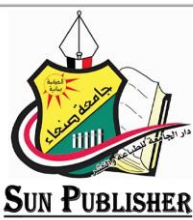


مجلة جامعة صنعاء للعلوم التطبيقية والتكنولوجيا
Sana'a University Journal of Applied Sciences and Technology
<https://journals.su.edu.ye/index.php/jast/>



The highest actual evapotranspiration values were recorded for treatment (I_1) at (384.60) (mm) according to the RCP8.5 scenario for the period (2020-2039) under constant CO_2 . The lowest values were recorded for treatment (I_3) under increasing CO_2 , at (266.0) (mm) according to the RCP8.5 scenario for the period (2039-2020).

The study showed that the experimental site will witness an increase in the productivity of the improved Arabic wheat crop, and assuming an increase in carbon dioxide concentration, this contributes to increased crop productivity.



تقييم أثر التغيرات المناخية على الاحتياجات المائية وإنتاجية محصول القمح العربي المحسن في حوض صنعاء

حسن مطهر عامر^{*} ، عبد الله محمد يابه وعادل محمد الوشلي
قسم الهندسة الزراعية والتقنيات الحديثة، كلية الزراعة والأغذية والبيئة، جامعة صنعاء، صنعاء، اليمن.

المؤلف: hmamer2005@gmail.com

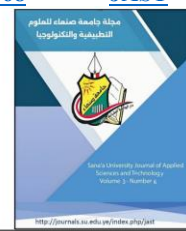
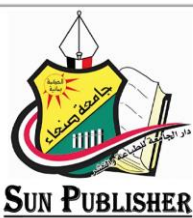
الكلمات المفتاحية	معلومات المقالة
التغيرات المناخية	تاريخ المقالة: 3 - أغسطس 2025
الاحتياجات المائية	تاريخ التقديم: 22 - أكتوبر 2025
الإنتاجية	تاريخ القبول: 27 - نوفمبر 2025
محصول القمح	تاريخ النشر: 28 ديسمبر 2025
Aqua Crop	05

الملخص:

هدفت الدراسة إلى تحليل تأثير التغيرات المناخية على الاحتياجات المائية وإنتاجية القمح العربي المحسن في حوض صنعاء، بتنفيذ تجارب حقلية لموسمين زراعيين (2024-2032) في مزرعة كلية الزراعة بجامعة صنعاء. تضمنت ثلاثة معاملات ري: (ري كامل (1)، وري ناقص بنسبة 75% (2)، وري ناقص بنسبة 50% (3) من الري الكاملة) وباستخدام تصميم القطاعات العشوائية الكاملة. وتم استخدام نموذج Aqua Crop للنموذج، مع معايرته ببيانات الموسم الزراعي الأول 2023، والتحقق من صحته ببيانات الموسم الزراعي الثاني 2024، وعند ثلاثة من النماذج المناخية العالمية: CNRM-CM5، EC – EARTH، GFDL-ESM2M وسيناريوهين من الانبعاثات الغازية: Rcp4.5 وRcp8.5، لكل نموذج وعند زيادة تركيز (CO_2) ووثباته (ppm350).

كشفت الدراسة أن معاملة الري (2) حققت أعلى قيمة لإنتاجية المياه (WP_{ET}) خلال الموسمين تراوحت بين (0.72 - 0.69 طن/ m^3) على التوالي، في حين تراوحت كفاءة مياه الري (WP_1) بين (0.74 - 0.72 طن/ m^3) على التوالي. بينما أظهر معامل الارتباط (R^2) توافقاً عالياً بين القيم المحسوبة والمتوقعة للإنتاجية الحبية، والكتلة الحيوية للموسمين تراوحت بين (93,99)، و(95,99) (%) على التوالي. وان قيم الإنتاجية الحبية للموسمين كانت أعلى في معاملة الري (1) وتراوحت بين (2.27 ، 2.52) (طن/هـ) على التوالي. مقارنة بمعاملات الري (2)، (3) التي تراوحت بين (2.15 ، 2.15)، و(1.02 ، 1.02) (طن/هـ) على التوالي عند مستوى معنوية (0.05).

التغيرات المناخية سجلت ارتفاعاً في درجات الحرارة الكبرى بمقدار 2.47°C للسيناريو RCP8.5 ولفترة 2040-2059، بينما الهطول المطري سجل انخفاضاً بمقدار 16.18 مم عند السيناريو RCP8.5 للفترة نفسها وللنموذج GFDL-ESM2M مقارنة بالفترة المرجعية (التاريخية) (1986, 2005).



وعند زيادة CO_2 حفقت معاملة الري (I₁) أعلى قيمة للإنتاجية الحبية (3.24) (طن/ه) وفقاً للسيناريو RCP8.5 وللفترة (2039-2020) بينما في حالة ثبات CO_2 سجلت أدنى قيمة عند معاملة الري (I₃) (0.82) (طن/ه) وفقاً للسيناريو RCP4.5 وللفترة نفسها.

كما سجلت أعلى القيم للتبعثر-نتح الفعلي للمعاملة (I₁) عدد (384.60) (مم) وفقاً للسيناريو RCP8.5 وللفترة (2039-2020) عند ثبات CO_2 , أما أدنى القيم للمعاملة (I₃) عند زيادة CO_2 كانت (266.0) (مم) وفقاً للسيناريو RCP8.5 وللفترة (2039-2020).

وأظهرت الدراسة إن موقع التجربة سيشهد زيادة في إنتاجية محصول القمح العربي المحسن، ومع افتراض وجود تزايد لتركيز ثاني أكسيد الكربون فهو يساعد على ارتفاع إنتاجية المحصول.



الاجتماعية والاقتصادية في المنطقة العربية ريكار (RICCAR)، والتي شارك في أطلاقها جامعة الدول العربية ومنظمات تابعة للأمم المتحدة وبمشاركة تسع دول عربية (اليمن، فلسطين، العراق، لبنان، سوريا، المغرب، تونس، مصر، والسودان) استخدم فيها نموذج Aqua Crop ، وثلاثة من النماذج المناخية العالمية: (EC - EARTH ، GFDL-ESM2M ، CNRM-CM5) ، وسيناريوهين مناخيين (RCP4.5 و RCP8.5) لكل نموذج وعند حالتين من زيادة تركيز ثاني أكسيد الكربون ووباته عند (ppm350). وأظهرت النتائج تأثير في الإنتحاجية بسبب تغير المناخ [14]. بينما وجد [15] في المغرب أن ارتفاع الحرارة يؤدي إلى انخفاض في الإنتحاجية بنسبة 30%. كما أشارت دراسة [16] إلى انخفاض إنتاج القمح العالمي بنسبة 6% لكل درجة حرارة إضافية، وأما دارسة [17] فكشفت تأثير ثاني أكسيد الكربون على فسيولوجيا النبات. بينما أظهرت دراسة [18] استجابة إنتحاجية المحاصيل للإجهاد المائي.

نسعى من خلال هذه الدراسة إلى تقديم رؤية علمية تساعد في وضع سياسات زراعية مستدامة تعزز القدرة على التكيف مع التغيرات المناخية في حوض صنعاء بهدف تقييم تأثير التغيرات المناخية على الاحتياجات المائية وإنتجالية القمح في الحوض باستخدام نموذج Aqua Crop ، مع التركيز على التفاعل بين العوامل المناخية (مثل ارتفاع ثاني أكسيد الكربون، ودرجات الحرارة، وتغير هطول الأمطار) ومدى تأثيرها على الإنتحاجية المائية والإنتاجية الحبية.

2. المواد وطرق البحث:

2.1 موقع الدراسة:

أجريت التجارب الحقلية خلال موسمين متتالين (2023-2024) في المزرعة التعليمية لكلية الزراعة والأغذية والبيئة بجامعة صنعاء ضمن نطاق حوض صنعاء والممتدة للسلسلة الجبلية للمرتفعات الشمالية والتي تقع بين خطى الطول والعرض (

1. المقدمة:

في ظل الظروف المناخية الجافة وشبه الجافة التي تسود اليمن، حيث تعمد معظم المناطق على الأمطار المتباينة في معدلاتها من منطقة إلى أخرى، تبرز قضية تغير المناخ كأحد التحديات الرئيسية التي تؤثر على الإنتحاجية الزراعية. تشير الدراسات العلمية إلى أن اليمن عامه وحوض صنعاء خاصة، سيواجه تغيرات مناخية حادة، تمثل في انخفاض معدلات هطول الأمطار، وارتفاع درجات الحرارة، وتكرار موجات الجفاف، مما يعكس سلباً على الإنتحاج الزراعي، سواء في المناطق البعلية أو المروية [1]. ولأن القمح في اليمن يحظى بأهمية كبيرة لدوره المحوري في تحقيق الأمن الغذائي، فقد بلغت المساحة المزروعة به عام 2023 حوالي 587,323 هكتاراً، بإنتاجية قدرها 861,409 طناً، بمتوسط مردود 1.5 طن/هـ. أما في العاصمة صنعاء، فقد وصلت المساحة المزروعة إلى 284 هكتاراً، بإنتاج 409 طناً (بمربود 1.44 طن/هـ) وفق [2]. وفي حوض صنعاء تزداد الضغوط على الموارد المائية والغذائية مما يفرض ضرورة رفع كفاءة الري لتحقيق الأمان الغذائي. ولتحقيق ذلك، لا بد من تطوير النظم الزراعية باستخدام تقييمات منقمة كنموذج Aqua Crop الذي طورته منظمة الأغذية والزراعة [3] والذي أثبت فاعليته في تحسين إدارة المياه وزيادة الإنتحاجية في ظل الإجهاد المائي [4,5].

لقد استخدم هذا النموذج على نطاق واسع في مناطق مختلفة من العالم لتحديد استجابة المحاصيل للإجهاد المائي ومحاكاتها في المدى الزمني القريب والمتوسط كإثيوبيا [6] ، وإيران [7] ، وتركيا [8] ، ولبنان [9] ، ومصر [10] ، وسوريا [11] والعراق [12] . وفي اليمن، استخدمه [13] لدراسة تأثير التغيرات المناخية على إنتاجية القمح والذرة الرفيعة في منطقتي صنعاء ونمار، حيث أكدت النتائج دقة النموذج في محاكاة الإنتحاجية .

كما أجريت دراسات مماثلة ضمن مشروع المبادرة الإقليمية لتقييم أثر تغير المناخ على الموارد المائية وقابلية تأثير القطاعات



ظروف زراعة خالية من أي إجهاد خصobi أو رطobi وهو النمو الأمثل الممكن للقمح. وتم معايرة بعض المتغيرات مثل بيانات الإدراة (كمية مياه الري المضافة، التسميد، مكافحة الأعشاب) وكذلك المحتوى الرطobi الابتائي وتاريخ الزراعة والمؤشرات الموضحة بالجدول (1) وتم تكرار عملية المعايرة عدة مرات بحسب ما أشار إليه [20].

2.3.1 الاعتبارات المأخوذة عند إعداد ملفات البيانات في النموذج :Aqua Crop

تم تحويل سرعة الرياح من ارتفاع 10م إلى 2م كون البيانات المناخية لصنعاء مأخوذة من محطة المطار. تم إعداد ملف مناخي لمنطقة الدراسة (حوض صنعاء) وهي بيانات يومية لفترة موسمين (2023-2024م)

2.3.2 تقييم النموذج والتحقق من صحته:
وكذلك تم إنشاء المشاريع الخاصة بالنماذج وإعداد الملفات الأخرى الخاصة بكل مشروع ابتداء بملف المحصول إذ تم اختيار ملف المحصول للقمح المخزن في قاعدة بيانات البرنامج وتم التعديل عليه بنظام التقويم اليومي (CD) وفقاً لبيانات المحصول المذكورة آنفاً ثم تحويله إلى تقويم الحرارة التراكمية (GDD)، وتم إنشاء ملفات الري وتحديد موعد الري وكمية مياه الري المضافة في كل رية، وقد جرى معايرتها ثم تم إنشاء ملف الحقل المتضمن مستوى التسميد ومكافحة الحشائش بقيم افتراضية معتدلة Moderate للمعايرة وتم وضع الخيار "منع الجريان السطحي" باعتبار أن الزراعة لا بد أن تكون في أحواض مغلفة، ثم إنشاء ملف التربة بحسب البيانات المذكورة، ثم بعد ذلك تم إعداد ملف الرطوبية الابتائية ومعايرتها وتم إنشاء ملف المشروع لكل حالة وتشغيله للحصول على قيم المتغيرات بعد عملية المعايرة.

15.37N، 44.18E) وعلى ارتفاع 2264 متراً عن سطح البحر. نظراً لوجود محطة مناخية تابعة لمحطة الهيئة العامة للأرصاد والطيران المدني بالقرب منها تمكناً من إجراء كافة القياسات الحقلية المطلوبة للبحث وبيانات الإدراة اللازمة لتشغيل برنامج Aqua Crop (الإصدار 7.1).

2.2 إعداد وتصميم التجربة:

تم تقسيم المساحة المخصصة للتجربة والمحضرة تحضيراً جيداً للزراعة إلى (9) قطع تجريبية مساحة القطعة الواحدة (12m^2) بأبعاد ($3*4\text{ m}$) موزعة على ثلاثة مكررات وكل مكرر يضم (3) قطع عبارة عن أحواض وباستخدام نظام الري السطحي وتم ترك مسافة (2) بين المكررات طولاً وعرضياً. وتم زراعة محصول القمح للموسم الأول في (2023/7/10) وحصد في 2023/10/9. والمôسم الثاني في (2024/7/10) وحصد في 2024/10/11. ونفذت التجربة وفق تصميم القطاعات العشوائية الكاملة، تكون فيها معاملات الري (معاملة الري الكامل(I_1) (100%) من (ET_c) الاحتياج الكامل، معاملة الري الناقص(I_2) (75%) من قيمة الري الكاملة، ومعاملة الري الناقص(I_3) (50%) من قيمة الري الكاملة) العامل الرئيس للتصميم ومحصول القمح العربي المحسن (Triticum turgidum) العامل الثانوي الذي يمثل الأصناف الرباعية الصلبة موزع على الأحواض. كما تم إضافة كامل الأسمدة الآزوتية (يوريا 46%) على دفعتين الأولى عند الزراعة مباشرة والثانية بعد شهر ونصف من الإضافة الأولى بحسب التوصية السمادية المعمول بها في [19].

2.3 معايرة النموذج Aqua Crop بنتائج الموسم الزراعي الأول (2023):

تم معايرة النموذج باستخدام المؤشرات والبيانات الحقلية المأخوذة من الموسم الزراعي 2023، ومن المعاملة التي طبقت فيها الظروف المثلثة للزراعة من ري كامل وتسميد آزوتى مثالي أي ضمن



(Aqua Crop) في التربة بإنتاجية القمح في موقع التجربة دون إجراء أية تعديلات على النموذج المعاير مسبقاً.

2.4 القياسات والحسابات التجريبية:

2.4.1 قياسات رطوبة التربة:

لتقدير رطوبة التربة الوزنية أخذ عينات رطوبة للتربة في فترات زمنية محددة للمحتوى المائي النهائي والمحتوى المائي الابتدائي في التربة خلال الفترة الحسابية (عند الزمن الأول بعد الري وعند الزمن الثاني قبل الرية التالية):

2.4.2 التحاليل الفيزيائية والكيميائية والتحليل الميكانيكي للتربة:

أجريت التحاليلات الفيزيائية والكيميائية والتحليل الميكانيكي للتربة التجربة وسجلت البيانات لنتائج التحاليل كما في الجداول (2)، (3) و(4).

أما نتائج تحليل عينة المياه المضافة فكانت قيمة التوصيلية الكهربائية ($EC=0.4$) ملليموز/ سم ودليل $pH=8$. وهي مياه جيدة للري.

جدول (1) يبين المعايير المستخدمة لمعايرة القمح العربي المحسن في برنامج Aqua Crop

المؤشر	القيمة
مؤشرات درجة الحرارة	
صفر النمو البيولوجي(${}^{\circ}\text{C}$)	0
درجة الحرارة العظمى المحددة للنمو(${}^{\circ}\text{C}$)	26
مؤشرات النمو	
الغطاء النباتي الأولي(cco). التغطية النباتية (%)	3.38
التغطية النباتية العظمى(ccx)الغطاء الأعظمي (%)	95
توقف التغطية النباتية (CGC) امتداد التغطية (%)	13.3
مؤشرات الاستجابة للإجهاد المائي	
عامل استنزاف ماء التربة المحدد لنمو الأوراق، الحد الأعلى	0.1
عامل استنزاف ماء التربة المحدد لنمو الأوراق، الحد الأنفي	0.45
معامل الإجهاد المائي المحدد لنمو الأوراق، عامل الشكل	6.0
عامل استنزاف ماء التربة للتحكم المسامي	0.80
معامل الإجهاد المائي للتحكم المسامي، عامل الشكل	2.5
عامل استنزاف ماء التربة المترافق بتوقف النمو الخضري	0.70
معامل استنزاف ماء التربة المترافق بتوقف النمو الخضري، عامل الشكل	2.5
مؤشرات الإنتاج	
ظهور البادرات من تاريخ الزراعة (يوم)	6
مدة الوصول إلى أقصى تغطية نباتية (ccx) من تاريخ الزراعة(يوم)	50
مدة الوصول إلى أقصى عمق تجذير (يوم)	55
أقصى عمق تجذير (Zx) (متر)	0.60
بدء مرحلة الشيخوخة من تاريخ الزراعة (يوم)	70
الوصول إلى مرحلة النضج من تاريخ الزراعة (يوم)	92
المدة للوصول إلى غاية الإزهار (يوم)	50
الوصول إلى مؤشر الحصاد (HIO)(يوم)	41
مدة الإزهار (يوم)	12
الإنتاجية المائية للمحصول (m ² /g)	15
مؤشر الحصاد المرجعي (%)	38
تاريخ الزراعة في الموسم الأول 2023	2023\7\10
تاريخ الحصاد في الموسم الأول 2023	2023\10\9

بعد الانتهاء من عملية معايرة النموذج، تم البدء ببنقيم النموذج والتحقق من صحته، حيث استخدمت البيانات المأخوذة من التجربة المنفذة خلال الموسم الزراعي 2024م، وذلك لتقييم أداء نموذج



جدول (2): التحليل الميكانيكي للتربة.

تصنيف القوام	التركيب الميكانيكي			العمق(سم)
	طين (%)	سلت (%)	رمل (%)	
رملية لومية طينية	26	24	50	30 - 0
لومية طينية	37	30	33	60 - 30

جدول (3): التحليل الفيزيائي للتربة.

الوصيل الهيدروليكي	الماء المتاح الكلي	درجة التشبع وزنا	نقطة النبول الدائم وزنا	السعة الحقلية وزنا	المسامية	الكتافة		العمق(سم)
						الحقيقية	الظاهرة	
Ksat	TAW	Sat	pwp	FC	n	ρ_s	ρ_b	الرمز
م/ساعة	م/م	%	%	%	%	ج/سم ³	ج/سم ³	الوحدة
8.72	132.86	30.27	10.98	20.08	44.02	2.608	1.46	30 - 0
3.31	175.49	33.82	13.10	25.81	46.50	2.579	1.38	60 - 30

جدول (4): التحليل الكيميائي للتربة.

P	K	C/N	C	N	O.M	CaCo ₃	EC	PH	العمق
الفسفور	اليوتاسيوم		الكريون	التتروجين	المادة العضوية	كربونات الكالسيوم	التوصيلية الكهربائية	ليل	
ppm	ppm	-	%	%	%	%	مليموس/سم	1:1	(سم)
14.71	236.57	0.53	0.53	0.08	0.92	8.79	0.63	8.22	30 - 0
13.62	196.27	0.59	0.59	0.13	1.01	7.10	0.36	8.35	60 - 30

2.4.3 حسابات جدوله الري:

حسب الاستهلاك المائي الموسمي وجدوله الري المقترنة خلال الموسم الأول والثاني وكل طور من الأطوار المميزة لمحصول القمح باستعمال النهج المتبع لمعالجة الموازنة المائية وفق [21] حيث تم حساب الاستهلاك المائي الصافي من معادلة الموازنة المائية الآتية:

$$ETC = I + P \pm DSW - DP - RO \dots \dots \dots \quad (1)$$

= كمية الماء المضاف (مم) ، و P كمية الأمطار الفعلة خلال موسم النمو (مم) ، و DSW الفرق بين المحتوى المائي النهائي والمحتوى المائي الابتدائي في التربة خلال الفترة الحسابية (عند الزمن الأول بعد الري وعند الزمن الثاني قبل الرية التالية) (مم) ، و DP الرشح العميق (مم) و RO الجريان السطحي (مم).

ونظراً لصغر مساحة القطعة التجريبية وإمكانية التحكم بها اعتبر الجريان السطحي معادماً، وتم إهمال قيمة الرشح العميق، وعليه تصبح المعادلة (1) كالتالي:

$$ETC = \Delta DSW \dots \dots \dots \quad (2)$$

تم حساب إنتاجية المياه من المعادلين (3) و (4) وفق منهجية [18] على النحو التالي:

$$WP_{ET} = \frac{Y}{ET} \dots \dots \dots \quad (4)$$

$$WP_I = \frac{Y}{I} \dots \dots \dots \quad (4)$$

WP_{ET} هي إنتاجية المتر المكعب من المياه (الري والأمطار) أو كفاءة استخدام المياه (طن/م³) ، و WP_I إنتاجية المتر المكعب من مياه الري (طن/م³) ، و Y يمثل الإنتاج الحبي الفعلي للمحصول (طن/هـ¹) ، و ETC الاستهلاك المائي الصافي للمحصول (م³/هـ¹) وا مجموع حجوم الريات (م³/هـ¹).



(T_{min}) بالدرجة المئوية، والرطوبة النسبية (%)، وسرعة الرياح (م/ث)، والإشعاع الشمسي (ميغا جول / $m^2 \cdot \text{يوم}$) والأمطار (مم/يوم) وساعات السطوع الشمسي (ساعة / يوم) من الهيئة العامة للأرصاد والطيران المدني بمطار صنعاء وهي البيانات المناخية المطلوبة في عملية النمذجة للنموذج .Aqua Crop

أما الملفات للبيانات المناخية اليومية المتوقعة فمن الموقف الإلكتروني للمبادرة الإقليمية لتقدير أثر تغير المناخ على الموارد المائية وقابلية تأثير القطاعات الاجتماعية والاقتصادية في المنطقة العربية ريكار (RICCAR)، CNRM-CM5، للثلاثة نماذج المناخ العالمية (EC-EARTH, GFDL-ESM2M نموذج (RCP8.5, RCP4.5)، وعند زيادة تركيز (CO2) وثباته عند 350 ppm والمرتبطة بدرجة الحرارة الكبرى والصغرى بالدرجة المئوية والهطول المطري (pr) / يوم. للفترة المرجعية (1986-2005) وفترتي المستقبل القريب (2020-2039)، والمستقبل المتوسط (2040-2059)، ولفترة عشرون عاماً والملفات المتحصل عليها عبارة عن ملفات NetCDF، تم إنشاء شرائح (بيانات نقطية raster) باستخدام برنامج نظام المعلومات الجغرافية (GIS) وأدخلت الإحداثيات الخاصة بمنطقة الدراسة بعد تحويلها من النظام الجغرافي إلى الرقمي الديكارتي (Nlat, Nlon) بدقة مكانية (50*5044-MNA) وـ من ثم تحويل الرسالات إلى ملفات اكسيل (EXCEL) وإدخال ملفات الأكسل إلى برنامج الأكسل لتصفيتها وفرزها وتجهيزها كملفات نصية لنقلها إلى نموذج Aqua Crop

ومن ثم مقارنة البيانات المقاسة للإنتاجية والتباخر - نتج الفعلي من واقع التجارب المنفذة خلال الموسمين الزراعيين الأول 2023 والثاني 2024 مع البيانات المتوقعة للإنتاجية

تم حساب معامل استجابة المحصول للإجهاد المائي بحسب معادلة ستبورت رقم (5) وفق [18] والتي تشير إلى الانخفاض النسبي في الإنتاج نتيجة الانخفاض النسبي في الاستهلاك المائي.

$$Ky = \frac{(1 - \frac{Ya}{Y_{max}})}{(1 - \frac{ETa}{ET_{max}})} \dots \dots \dots \dots \dots \dots \quad (5)$$

$= Ya$ تشير إلى الإنتاج الفعلي لمحصول القمح في حالة الري الناقص ($\text{طن} / \text{هـ}$). ، و Y_{max} تشير إلى الإنتاج الأعظمي للري الكامل في حال عدم وجود إجهادات مائية ($\text{طن} / \text{هـ}$) ، و ETa تمثل الاستهلاك المائي لمعاملة الري الناقص ($\text{م}^3 / \text{هـ}$). و ET_{max} تمثل الاستهلاك المائي للري الكامل ($\text{م}^3 / \text{هـ}$).

جدولة الري خلال الموسم الأول والثاني لمحصول القمح العربي المحسن باستعمال النهج المتبع للموازنة المائية من قبل [21] ووفق برنامج (Cropwat8.0). وبفاصل زمني بين الريتين والأخرى (10 أيام كما موضح بالجدول (5).

جدول (5) بين متوسط معدل مياه الري المضافة خلال كل رية ولمختلف معاملات الري

رقم الريات	الشهر	تاريخ الري	معدل الري بـ(مم)		
			معاملات الري		
I ₃	I ₂	I ₁			
1	يونيو	2023/7/10	9	13	17
2	يونيو	2023/7/20	9	13	17
3	يونيو	2023/7/30	14	21	28
4	أغسطس	2023/8/9	18	29	36
5	أغسطس	2023/8/19	23	37	46
6	أغسطس	2023/8/29	32	47	64
7	سبتمبر	2023/9/8	33	50	67
8	سبتمبر	2023/9/18	34	51	69
9	سبتمبر	2023/9/28	19	29	38
الإجمالي خلال الموسم الواحد			191	292	382

2.5 معاجلات البيانات المناخية:

تم الحصول على بيانات المناخ اليومية للموسمين الزراعيين (2023-2024). مثل درجة الحرارة الكبرى (T_{max}) والصغرى

التخيّز الكلي بين قيم المعاملات الحقيقة وقيم معاملات المحاكاة كما أشار [23] ونتم حسابه وفق المعادلة:

- متوسط الخطأ المطلق (MAE) Error Absolute Mean: وهو يقيس متوسط حجم الأخطاء في البيانات المعايرة والتحقق من صحتها عن طريق قياس التباين المطلق بين مجموعة البيانات الحقيقية والبيانات المتبعة لها، وذلك لتجاوز أخطاء التبؤ بالمحاكاة الناتجة عن إزالة القيم الموجبة للقيم السالبة للفروقات بين القراءات الحقيلية وقراءات نموذج المحاكاة (دون الأخذ بالحسبان فيما إذا كان هناك مبالغة أو تحفظ في عملية التقدير) بحسب [24]

$$MAE = \frac{\sum_{i=1}^n |(O_i - S_i)|}{n} \dots \dots \dots \quad (8)$$

- الجذر التربيعي لمتوسط الخطأ مربع الخطأ (Mean Root Square Error) RMSE

وهو مقياس يستخدم بشكل منكر للفرق بين القيم التي تتبأ بها النموذج وتلك التي ستلحظ فعلياً من التجربة يمكن استخدام قيم RMSE لتمييز أداء النموذج في فترة المعايرة مع فترة التحقق كما أشار [24] من المعاملة التالية.

$$RMSE = \sqrt{\frac{\sum(Si - Oi)^2}{n}} \dots \dots \dots (9)$$

إن قدرة النموذج على التنبؤ تكون بالشكل الأمثل عندما يكون الخطأ الذي تم حسابه من خلال المقاييس السابقة مساوياً للصفر أو قريباً من ذلك، وكلما زاد الخطأ قلت فاعلية أسلوب التنبؤ وأهمية استقراء النتائج من خلاٍ النموذج.

(d) Willmott Index of التوافق حسب مؤشر ويلموت - :Agreement

والتبخر - نتاج الفاعلي لفترات المرجعية ، والمستقبل القريب والمتوسط.

2.6 التحليل الإحصائي:

تم استخدام البرنامج الإحصائي Statisix8.1 لتحليل بيانات الإنتاجية الحيوية والكتلة الحيوية المتحصل عليها لمحصول القمح من موسمي الزراعة. وتم استخدام بعض المؤشرات الإحصائية لتحديد الدقة وسلامة المعايرة عند تحديد القيم الفعلية والمقدرة بالبرنامج لتقدير أداء نموذج Aqua Crop في التنبؤ بإنتاجية القمح العربي المحسن في موسمي النمو ضمن محطة الأرصاد بالمطار، تم حساب مدى ملائمة القيم المقاسة حقلياً والقيم المتوقعة المحاكاة عن طريق حساب مقاييس الاختلاف التي تحدد نوعية ومصدر الخطأ لتلك القيم معامل التحديد (R^2)، متوسط خطأ التحيز (MBE)، متوسط الخطأ المطلوب (RMSE) والجزر التريعي لمتوسط الخطأ (MAE)، ودليل التوافق (d).

(R2) Coefficient of Determination: - معامل التحديد هو مقياس يستخدم في التحليل الإحصائي يقيم مدى جودة نموذج ما في شرح النتائج المستقبلية والتنبؤ بها. وهو يدل على مستوى التباين في مجموعة البيانات يستخدم لشرح مقدار التباين في عامل واحد الذي يمكن أن ينفتح عن علاقته بعامل آخر كما أشار [22]، تأخذ R^2 قيمًا بين 0 و 1 كلما كانت القيمة أقرب إلى الواحد كانت العلاقة بين العاملين أفضل حيث تشير القيمة (1) إلى التطبيق التام، و (0) تشير إلى عدم وجود توافق على الإطلاق.

$$R^2 = 1 - \frac{\sum_{i=1}^n (O_i - S_i)^2}{\sum_{i=1}^n (O_i - \bar{O}avgI)^2} \dots \dots \dots (6)$$

O_i = القيم الحقلية. ، و Si القيم المحاكاة. ، و n عدد القيم المستخدمة في المقارنة . و O_{avg} متوسط القيم المرصودة .

(MBE) Error Bias Mean: - متوسط خطأ التحيز وهو مقياس معدل الخطأ في التقدير بمعنى عدم المبالغة أو التقليل من القيم المتتبعة بها عن طريق نموذج المحاكاة وذلك بحساب خطأ



في الموسمين الأول والثاني ويعزى ذلك إلى أن أي انخفاض في كمية الماء المضاف للمحصول يقابل انخفاض في حاصل الإنتاجية الحبية والكتلة الحيوية (الحبوب والقش). بسبب قلة عدد الحبوب في السنابل والقش في النبات. وتعرضها للإجهاد المائي. وهذا يتافق مع نتائج دراسة الريعي وآخرون [11] كما يلاحظ انخفاض في الإنتاجية الحبية والكتلة الحيوية في الموسم الثاني 2024م، مقارنة بالموسم الزراعي الأول 2023م. في معاملة الري الكامل (I₁) والناقص (I₂) - نظراً لاختلاف البيانات المناخية بين الموسمين (انخفاض التبخر - نتح المرجعي والتباخر - نتح الفعلي وزيادة فترة النمو للمحصول في الموسم الثاني وزيادة الهطول المطري وزيادة الرطوبة النسبية وارتفاع درجة الحرارة مقارنة بالموسم الأول) والزراعة في الموسم الأول والم الموسم الثاني بنفس القطعة من الأرض وهو ما أدى إلى فقدان التربة لعناصرها الغذائية في هذا الموسم 2024 عن الموسم السابق 2023m. هذه تتفق مع ما أشارت إليه دراسات Hassan et al [6] ، Tifri & Oyekale [5] ، وحلوه [4] ، والسعيدي [12] ، Bouras et al [7] ، Aghajanloo & Nikbakht [15] و Asseng et al [16].

بينما معاملة الري الناقص (I₃) أظهرت زيادة في الموسم الثاني مما كانت عليه في الموسم الأول ويرجع ذلك لثبات كميات المياه المضافة وزيادة الهطول المطري وانخفاض الإجهاد المائي في الموسم الثاني مقارنة بالموسم الأول ما أدى إلى زيادة إنتاجية هذه المعاملة في هذا الموسم وهذه النتائج تتفق مع توصل إليه [18,4]

3.1.2 كفاءة إنتاجية المياه:

بالنسبة لكافأة إنتاجية المياه خلال الموسم الزراعي الأول 2023 م والثاني 2024 تظهر النتائج في الجدولين (6) (7)، بأن معاملة الري الناقص (I₂) خلال الموسمين حققت أعلى قيمة لإنتاجية للمياه (WP_{ET}) تراوحت بين (0.70 ، 0.72 ، 0.74 طن/م³) على التوالي. في حين أن كفاءة الري (WP) تراوحت بين (0.67 ، 0.69 طن/م³) على التوالي.

وهو مقياس موحد لدرجة خطأ تتبؤ النموذج بحسب [25] ويترافق بين 0 و 1 حيث تشير القيمة (1) إلى تطابق تام، والقيمة (0) تشير إلى عدم وجود اتفاق على الإطلاق.

$$d = 1 - \frac{\sum_{i=1}^n (O_i - S_i)^2}{\sum_{i=1}^n [(|S_i - O_i| + |O_i - Avg|)^2]} \dots \dots \dots \quad (10)$$

3. النتائج والمناقشة:

3.1 الإنتاجية الحبية وكفاءة إنتاجية المياه:

3.1.1 الإنتاجية الحبية والكتلة الحيوية:

خلال الموسم الزراعي الأول 2023 والثاني 2024 تشير النتائج في الجدولين (6)، (7) بأن معاملة الري الكامل (I₁) حققت أعلى معدل للاستهلاك المائي خلال الموسمين بمتوسط معنوي تراوح بين (401.44 ، 372.03 مم) على التوالي. مع تقييم (9) ريات صافية في كل موسم بمعدل إجمالي (382 مم) للموسم الواحد. وترتفع متوسط الإنتاجية الحبية لمحصول القمح والكتلة الحيوية لهذه المعاملة خلال الموسمين بين (2.27، 2.52 طن/هـ) ، و (5.94 طن/هـ) على التوالي.

بينما أظهرت معاملة الري الناقص (I₂) انخفاضاً في الاستهلاك المائي تراوح بين (300.3 ، 276.83 مم) على التوالي. ومع تقديم (9) ريات بمعدل إجمالي (290 مم) للموسم الواحد، مما أدى إلى انخفاض معنوي في الإنتاجية الحبية والكتلة الحيوية خلال الموسمين تراوح بين (1.90 ، 2.15 طن/هـ) ، و (5.7 ، 5.11 طن/هـ) على التوالي.

أما معاملة الري الناقص (I₃) فسجلت أقل قيمة للاستهلاك المائي (188.53 ، 202.14 مم) على التوالي. أيضاً مع تقديم (9) ريات بمعدل إجمالي (191 مم) للموسم. مصحوبة بانخفاض معنوي واضح في متوسط الإنتاجية الحبية والكتلة الحيوية تراوح بين (1.00 ، 1.02 طن/هـ) ، و (2.70 ، 2.97 طن/هـ) على التوالي . يلاحظ انخفاض الحاصل في الإنتاجية الحبية والكتلة الحيوية في معاملات الري الناقص (I₂)، (I₃) مقارنة بمعاملة الري الكامل (I₁)



كفاءة إنتاجية المياه (WP_{ET}) وكفاءة مياه الري (WP_r) في الموسم الثاني 2024م، مقارنة بالموسم الزراعي الأول 2023م. في معاملتي الري الكامل (ا) والناقص (ب) ويرجع ذلك لتأثير القبلات في المناخ بين الموسمين ما أدى إلى انخفاض في الإنتاجية الحبية وبالتالي نقصان في كفاءة إنتاجية المياه (WP_{ET}) وكفاءة مياه الري (WP_r) بينما معاملة الري (ج) أظهرت زيادة في كفاءة إنتاجية المياه (WP_{ET}) وكفاءة مياه الري (WP_r) في الموسم الثاني عما كانت عليه في الموسم الأول نتيجة ثبات معدل الري المضاف في الموسمين وانخفاض الإجهاد المائي وزيادة الهطول المطري في الموسم الثاني وهذه النتائج تتفق مع دراسة [4] و [18].

جدول (6) يبين نتائج مقاييس الاختلاف للقيم المتوقعة مع القيم المقاسة لصفتي الإنتاجية الحبية (طن/ه) والكتلة الحيوية (طن/ه) ومتوسط إنتاجية المياه (WP_{ET}) وإنتجييه مياه الري (WP_r) لمحصول القمح العربي المحسن لموسم 2023م.

معاملات الري	الاستهلاك المائي والريات								
	مجموع الريات	الاستهلاك المائي							
معامل استجابة المحسوب للإجهاد المائي (Ky)	إنتحاجية مياه الري (wp_r)	إنتحاجية المياه (WP_{ET})	الكتلة الحيوية المحاكاة (B)	الكتلة الحيوية المقاسة (B)	الإنتاجية الحبية المحاكاة (y)	الإنتاجية الحبية المقاسة (y)	الاستهلاك المائي والريات	معاملات الري	
(طن/م ³)	(طن/ه)	(طن/م ³)	(طن/ه)	(طن/ه)	(طن/ه)	(طن/ه)	(م)		
0.66	0.63	6.59	6.5 ^a	2.50	2.52 ^a	382	401.44	ا ₁	
0.58	0.74	0.72	5.85	5.7 ^b	2.22	2.15 ^b	290	300.3	ا ₂
1.64	0.52	0.50	2.86	2.7 ^c	1.09	1.00 ^c	191	202.14	ا ₃
L.S. D _{0.05}			0.007		0.009	0.05			
C.V			0.24		0.88			معامل الاختلاف	
R ²		0.99		0.99				معامل التحديد	
MBE		-0.04		-0.02				خطا متوسط التحيز	
MAE		0.04		0.02				متوسط الخطأ في القيمة المطلقة	
RMSE		0.08		0.04				الجذر التربيعي لمتوسط الخطأ	
d		0.99		0.99				دليل التوافق	

الأحرف المختلفة تشير لوجود فرق معنوي عند مستوى معنوية 0.05 بين المعاملات لصفتي الإنتاجية الحبية والكتلة الحيوية. •



جدول (7) يبين نتائج مقاييس الاختلاف للقيم المتوقعة مع القيم المقاسة لصفتي الإننتاجية الحبية ($\text{طن}/\text{ه}$) والكتلة الحيوية ($\text{طن}/\text{ه}$) ومتوسط إنتاجية المياه (WP_{ET}) وإنتجية مياه الري (WP_r) لمحصول القمح العربي المحسن لموسم 2024م.

معامل استجابة المحصول للماء (Ky)	إنتاجية مياه الري (WP_r)	إنتاجية المياه (WP_{ET})	الكتلة الحيوية المحاكاة (B)	الكتلة الحيوية المقاسة (B)	الإنتاجية الحبية المحاكاة (y)	الإنتاجية الحبية المقاسة (y)	الاستهلاك المائي والريات		معاملات الري
							مجموع الريات	الاستهلاك المائي	
(طن/م ³)	(طن/م ³)	(طن/م ³)	(طن/ه)	(طن/ه)	(طن/ه)	(طن/ه)	(م)		
0.59	0.61	5.987	5.94 ^a	2.275	2.27 ^a	382	372.03	I ₁	
0.55	0.67	0.70	5.287	5.11 ^b	2.003	1.95 ^b	290	276.83	I ₂
1.11	0.53	0.54	3.406	2.97 ^c	1.248	1.02 ^c	191	188.53	I ₃
L.S. D _{0.05}			0.004		0.005	0.05			
C.V			0.14		0.51				
R ²			0.95		0.93				معامل التحديد
MBE			-0.07		-0.03				خطا متوسط التحيز
MAE			0.07		0.03				متوسط الخطأ في القيمة المطلقة
RMSE			0.16		0.08				الجزر التربيعي لمتوسط الخطأ
d			0.97		0.96				دليل التوافق

* الأحرف المختلفة تشير لوجود فرق معنوي عند مستوى معنوية 0.05 بين المعاملات لصفتي الإننتاجية الحبية والكتلة الحيوية.

3.2.2 المحاكاة ببيانات الموسم الزراعي 2024:

عند التحقق من صحة نموذج Aqua Crop في المحاكاة بين القيم المتوقعة مع القيم المقاسة لصفتي الإننتاجية الحبية والكتلة الحيوية باستخدام بيانات الموسم الزراعي الثاني 2024 م والموضحة في الجدول (7) تشير القيم إلى أن النموذج أظهر دقة عالية في محاكاة الإننتاجية الحبية والكتلة الحيوية، حيث تراوحت قيم معامل التحديد (R^2) بين (95.93%) لكلا المتغيرين. وكانت قيم أخطاء التحيز (MBE) وأخطاء القيمة المطلقة (MAE) منخفضة، تتراوح بين (-0.03 إلى -0.07) و(0.03 إلى 0.07) على التوالي. وبلغت نسبة الجزر التربيعي لمتوسط الخطأ RMSE للإننتاجية الحبية (%8) وللكتلة الحيوية (%16)، مع توافق عالٍ بين القيم المقاسة والمتوترة حسب مؤشر ويلموت (d) الذي سجل لكلا المؤشرتين (97.96%) على التوالي. يلاحظ انخفاض قيم معامل التحديد للإننتاجية والكتلة الحيوية إضافة إلى ارتفاع قيم أخطاء التحيز (MBE) وأخطاء القيمة المطلقة (MAE) والجزر التربيعي لمتوسط

3.2.3 دقة النموذج Aqua Crop في المحاكاة:

3.2.1 المحاكاة ببيانات الموسم الزراعي 2023:

للتتأكد من دقة نموذج Aqua Crop عند مقارنة القيم المحاكاة (المتوقعة) مع القيم الحقيقة (المقاسة) لصفتي الإننتاجية الحبية والكتلة الحيوية بالبيانات المتحصل عليها من الموسم الزراعي الأول 2023م والظاهر في الجدول (6) فقد أظهر النموذج بعد المعايرة بهذه البيانات دقة عالية في محاكاة الإننتاجية الحبية والكتلة الحيوية، حيث تراوحت قيم معامل التحديد (R^2) بين (99.99%) لكلا المتغيرين. وكانت قيم أخطاء التحيز (MBE) وأخطاء القيمة المطلقة (MAE) لهما منخفضة، تتراوح بين (-0.02 إلى 0.02) و(-0.04 إلى 0.04) على التوالي. وبلغت نسبة الجزر التربيعي لمتوسط الخطأ RMSE للإننتاجية الحبية (4%) وللكتلة الحيوية (8%)، مع توافق عالٍ بين القيم المقاسة والمتوترة حسب مؤشر ويلموت (d) الذي سجل (99%) لكلا المؤشرتين، هذه النتائج توافق مع نتائج دراسة [4, 5, 10].



أما فيما يخص الھطلات المطريّة، فمن المرجح أن تشهد منطقة الدراسة انخفاضاً على المدى المتوسط (2040-2059) لجميع النماذج والسيناريوهات، حيث يُتوقع أن تنخفض كمية الأمطار لتصل إلى 16.18 مم في النموذج GFDL-ESM2M وفقاً للسيناريو RCP8.5، وإلى 15.56 مم خلال المدى القريب (2020-2039)، طبقاً للسيناريو RCP4.5 حسب النموذج نفسه. كما يُتوقع انخفاض متوسط الھطول السنوي إلى 12.97 مم في النموذج CNRM-CM5 خلال الفترة (2040-2059) للسيناريو RCP4.5. على الجانب الآخر من المتوقع ارتفاع كمية الھطلات المطريّة على المدى القريب (2039 - 2020) في النموذج CNRM-CM5، حيث تتراوح الزيادة بين 16.91 مم و 19.79 مم للسيناريوهين RCP4.5 و RCP8.5 على التوالي. كما يُتوقع زيادة في الھطول المطري بمقدار 1.12 خلال الفترة نفسها في النموذج EC-Earth للسيناريو RCP8.5. وهذا يتفق مع ما توصل إليه [13].

الخطأ RMSE في الموسم 2024م، مما كانت عليه في الموسم الزراعي الأول 2023م. ويعزى ذلك لانخفاض قيم الإنتاجية الحبية والكتلة الحيوية في العام 2024م، وارتفاعها في العام 2023م. وهذا يتفق مع النتائج التي توصلنا إليها [10,4].

3.3 سيناريوهات ونماذج التغيرات المناخية:

تشير نتائج التوقعات الظاهرة في الجدولين (8)، (9) إلى أن منطقة الدراسة ستشهد ارتفاعاً في درجات الحرارة الكبيرة لجميع النماذج والسيناريوهات، حيث تصل الزيادة إلى 1.82°M وفقاً لسيناريو RCP4.5، و 2.47°M طبقاً للسيناريو RCP8.5 خلال الفترة 2059–2040 (حسب النموذج EC-Earth). كما من المتوقع أن ترتفع درجات الحرارة الصغرى أيضاً، لتصل إلى 0.85°M للسيناريو RCP4.5 و 1.34°M للسيناريو RCP8.5 في نفس الفترة وفقاً للنموذج نفسه. بينما يُتوقع أن تبلغ الزيادة 0.91°M للسيناريو RCP8.5 خلال الفترة 2059–2040 (حسب النموذج EC-Earth).

جدول (8) التغيرات المتوقعة للهطول المطري والحرارة الصغرى والحرارة الكبرى لفترتين (2039-2060) و(2040-2059) مقارنة بالفترة التاريخية (1986-2005) في منطقة الدراسة حوض صناع وفقاً للسيناريو RCP 4.5 وللنماذج CNRM-CM5، GFDL-ESM2M وللنماذج EC-Earth.

التغيرات المتوقعة		المعدل الوسطى للسنوات التاريخية	النموذج	العوامل المتغيرة
المستقبل المتوسط	المستقبل القريب			
2059-2040	2039-2020	2005-1986	CNRM-CM5	الأمطار (مم)
- 12.97	+ 16.91	148.38		درجة الحرارة الكبرى (م°)
+ 1.67	+ 0.97	23.95		درجة الحرارة الصغرى (م°)
+ 0.76	+ 0.53	12.68		الأمطار (مم)
- 5.95	- 15.56	135.10		درجة الحرارة الكبرى (م°)
+ 1.65	+ 1.17	24.02		درجة الحرارة الصغرى (م°)
+ 0.91	+ 0.63	12.68	GFDL-ESM2M	الأمطار (مم)
- 10.10	- 9.68	148.46		درجة الحرارة الكبرى (م°)
+ 1.82	+ 1.01	24.0		درجة الحرارة الصغرى (م°)
+ 0.85	+ 0.50	12.69	EC-Earth	الأمطار (مم)
				درجة الحرارة الصغرى (م°)



جدول (9) التغيرات المتوقعة للهطول المطري والحرارة الصغرى والحرارة الكبرى للفترتين (2039-2059) و(2020-2059) مقارنة بالفترة التاريخية (1986-2005) في منطقة الدراسة حوض صناعة وفقاً للسيناريو RCP 8.5 وللنماذج CNRM-CM5، GFDL-ESM2M و EC-Earth

EC-Earth

ال المستقبل المتوسط	التغيرات المتوقعة		المعدل الوسطي للسنوات التاريخية	النموذج	العوامل المتغيرة
	المستقبل القريب	المستقبل المتوسط			
2059-2040	2039-2020	2005-1986	CNRM-CM5	الأمطار (مم)	- 11.04
+ 2.10	+ 1.17	23.98			+ 2.10
+ 1.01	+ 0.59	12.67			+ 1.01
- 16.18	- 6.94	122.54	GFDL-ESM2M	الأمطار (مم)	- 16.18
+ 2.36	+ 1.30	24.07			+ 2.36
+ 1.22	+ 0.66	12.70			+ 1.22
- 1.79	+ 1.12	145.65	EC-Earth	الأمطار (مم)	- 1.79
+ 2.47	+ 1.39	24.0			+ 2.47
+ 1.34	+ 0.65	12.69			+ 1.34

يقابلها انخفاض في الإنتاجية بسبب بطء العمليات الفسيولوجية ونمو المحصول. وهذه النتائج تتفق مع ما أشارت إليه دراسات سيف وأخرون [13]، والإسكوا، [14] وعلى العكس انخفاض الإنتاجية مع ارتفاع درجات الحرارة بحسب ما أظهرت دراسة Bouras et al [15] وAsseng et al [16] بينما في معاملة الري الكامل (1a) بلغت أعلى قيمة للإنتاجية (3.24 طن/هـ) بنسبة زيادة (28.57%) تحت السيناريو (RCP8.5) و (3.19 طن/هـ) وبنسبة (26.59%) تحت السيناريو (RCP4.5) للفترة (2059-2040) (20.59%) تحت السيناريو (RCP4.5) للفترة (2039-2020) تحت السيناريو (RCP8.5) (35.35%) على التوالي. أما في معاملة الري الناقص (1a) فكانت أعلى قيمة للإنتاجية (2.91 طن/هـ) بنسبة زيادة (2.45 طن/هـ) وبنسبة زيادة (13.95%) تحت السيناريو (RCP4.5) للفترة (2059-2040) مقارنة بفترة الأساس (2.15 طن/هـ). بينما أدنى قيمة للإنتاجية (1.65 طن/هـ) بنسبة (2.15 طن/هـ) بنسبة انخفاض (14.68%) تحت السيناريو (RCP4.5) و (2.20 طن/هـ) وبنسبة انخفاض (-12.70%) تحت السيناريو (RCP8.5) عند ثبات (CO₂) للفترتين (2020-2039 و 2039-2040) على التوالي.

أ. 3.4 مناقشة أثر التغيرات المناخية على القمح:
تم دراسة تأثير تغير المناخ بأخذ متوسط البيانات المناخية للنماذج الثلاثة (EC-EARTH ، GFDL-ESM2M ، CNRM-CM5) وعدة سيناريوهين لكل نموذج (RCP8.5 ، RCP4.5)، مع الأخذ بالحسبان دراسة حالي زيادة تركيز ثاني أكسيد الكربون (CO₂) وثباته عند (ppm350) للفترتين المستقبل القريب والمتوسط (2020-2023 ، 2024-2029) والمقارنة بفترة الأساس (2039-2059) م). ويمكن مناقشة أهم أثر التغيرات المناخية على الإنتاجية الحبية والتباخر - نتح الفعلي كالتالي:

3.4.1 أثر التغيرات المناخية على الإنتاجية الحبية:
تظهر النتائج الواردة في الجدول (10) إلى توقع زيادة في إنتاجية (2) القمح العربي المحسن بمنطقة الدراسة مع ارتفاع تركيز ثاني أكسيد الكربون تحت السيناريو (RCP8.5) و (RCP4.5) للفترتين (2039-2020 و 2040-2059) . بينما من المتوقع انخفاضها في حال ثبات تركيز CO₂ في الغلاف الجوي تحت السيناريو (RCP8.5) و (RCP4.5) للفترتين نفسها. ويرجع ذلك إلى تأثير ارتفاع ثاني أكسيد الكربون في تسريع العمليات الفسيولوجية ونمو المحصول أما ثبات تركيبة CO₂



انخفاض (-18.0%) تحت السيناريو (RCP4.5) و (0.83 طن/ه) وبنسبة انخفاض (-17.0%) تحت السيناريو (RCP8.5) في حال ثبات (CO_2) للفترتين 2020–2039 و 2040–2059 على التوالي. يلاحظ انخفاض الحاصل في الإنتاجية الحبية في معاملات الري الناقص (I₃) مقارنة بمعاملة الري الكامل (I₁) بسبب قلة عدد الحبوب في السنابل والقش النبات وتعرضها للإجهاد المائي. هذه النتائج تتفق مع ما أشار إليه كل [4, 5, 11, 12].

انخفاض (-23.26%) تحت السيناريو (RCP4.5) و (1.45 طن/ه) وبنسبة انخفاض (-32.56%) تحت السيناريو (RCP8.5) في حال ثبات (CO_2) للفترتين 2020–2039 و 2040–2059 على التوالي. ولكن في معاملة الري الناقص (I₃) كانت أعلى قيمة للإنتاجية (1.88 طن/ه) بنسبة زيادة (88.0%) تحت السيناريو (RCP8.5) للفترة (2039–2020) و (1.25 طن/ه) وبنسبة زيادة (25.0%) تحت السيناريو (RCP4.5) للفترة (2059 – 2040) مقارنة بفترة الأساس (0.82 طن/ه). أما أدنى قيمة للإنتاجية فبلغت (0.0 طن/ه).

جدول (10) يبين متوسط الإنتاجية الحبية للقمح العربي المحسن خلال الفترات 2039–2020 : 2040–2059 و من أجل السيناريوهين RCP8.5، RCP4.5 وعند مختلف معاملات الري.

RCP8.5				RCP4.5				السيناريو المناخي			الإنتاجية الحبية (طن/ه) التغير النسبي (%) التغير المطلق(طن/ه)		
زيادة	ثبات	زيادة	ثبات	زيادة	ثبات	زيادة	ثبات	حالة تركيز ثاني أكسيد الكربون CO ₂	سنوات الأساس	معاملات الري	الإنتاجية الحبية (طن/ه) التغير النسبي (%) التغير المطلق(طن/ه)		
التغيرات المتوقعة													
المستقبل المتوسط	المستقبل القريب	المستقبل المتوسط	المستقبل القريب	2024–2023	2.52	I ₁							
2059–2040	2039–2020	2059–2040	2039–2020	2059–2040	2039–2020	2059–2040	2039–2020	2024–2023					
2.82	2.20	3.24	2.75	3.19	2.58	2.51	2.15	2024–2023					
11.90	-12.70	28.57	9.13	26.59	2.38	-0.40	-14.68	2024–2023	2.15	I ₂			
0.30	-0.32	0.72	0.23	0.67	0.06	-0.01	-0.37	2024–2023					
1.87	1.45	2.91	2.47	2.45	1.99	1.92	1.65	2024–2023					
-13.02	-32.56	35.35	14.88	13.95	-7.44	-10.70	-23.26	2024–2023	1.00	I ₃			
-0.28	-0.70	0.76	0.32	0.30	-0.16	-0.23	-0.50	2024–2023					
1.06	0.83	1.88	1.59	1.25	1.01	0.95	0.82	2024–2023					
6.00	-17.00	88.00	59.00	25.00	1.00	-5.00	-18.00	2024–2023	1.00	I ₃			
0.06	-0.17	0.88	0.59	0.25	0.01	-0.05	-0.18	2024–2023					

بينما من المتوقع الارتفاع في التبخر-نتح الفعلي في حال ثبات تركيز CO_2 في الغلاف الجوي تحت السيناريو (RCP4.5) و (RCP8.5) للفترتين نفسها. ويعزى ذلك إلى أن الارتفاع في تركيز CO_2 يعمل على إغلاق ثغور المحصول جزئياً أو كلياً وهو ما يؤدي إلى انخفاض في عملية النتح من الأوراق. أما انخفاض تركيزه فلا يحدث

3.4.2 أثر التغيرات المناخية على التبخر- نتح الفعلي: تظهر النتائج الواردة في الجدول (11) إلى توقع انخفاض في التبخر-نتح الفعلي (ET_C) للقمح العربي بمنطقة الدراسة مع ارتفاع تركيز ثاني أكسيد الكربون تحت السيناريو (RCP4.5) و (RCP8.5) للفترتين 2039–2020 و 2040–2059 مقارنة بفترة الأساس (2023, 2024). مقارنة بفترة الأساس (2023, 2024).



أما في معاملة الري الناقص (3_a) لوحظ ارتفاع كبير في التبخر-نتح الفعلي، حيث وصلت القيمة القصوى إلى 306.20 مم (بنسبة زيادة 51.48%) وفقاً للسيناريو RCP8.5 للفترة (2039-2020) عند ثبات CO₂ و 277.00 مم (بنسبة زيادة 37.03%) وفقاً للسيناريو RCP4.5 لنفس الفترة عند ثبات CO₂ مقارنة بفترة الأساس (202.14 مم).

في حين كانت القيمة الدنيا 266.00 مم (بنسبة زيادة 31.59%) وفقاً للسيناريو RCP8.5 للفترة (2040-2059) عند زيادة CO₂. و 273.00 مم (بنسبة زيادة 35.05%) تحت السيناريو RCP4.5 لنفس الفترة.

ويرجع هذا الارتفاع الكبير إلى زيادة استجابة المحصول للإجهاد المائي مقارنةً بمعاملة الري الناقص (2_a). عموماً يلاحظ انخفاض في قيم التبخر-نتح الفعلي في معاملة الري الكامل (1_a) خلال الفترات المتوقعة (2039-2040-2059) في جميع السيناريوهات المناخية وعند زيادة تركيز ثاني أكسيد الكربون وثباته في المستقبل القريب والمتوسط في حين أظهرت معاملتي الري الناقص (2_a)، (3_a) ارتفاعاً ملحوظاً في قيم التبخر-نتح الفعلي مقارنة بفترة الأساس (2023-2024).

يعزى ذلك إلى عدم استجابة المحصول للإجهاد المائي في معاملة الري الكامل (1_a) واستجابة المحصول للإجهاد المائي في معاملتي الري الناقص (2_a)، (3_a) وهذا يتقدّم مع ما توصل إليه كل من [4, 5, 7, 11, 12, 18, 21].

إغلاقاً للثغور CO₂ وهو ما أكدنا عليه في دراستهما [17] Ainsworth & Long العريبي المحسن من المتوقع أن ينخفض تحت معاملة الري الكامل (1_a) حيث بلغت أعلى قيمة للتبخر-نتح الفعلي 384.60 مم (بنسبة انخفاض 4.19%) تحت السيناريو RCP8.5 للفترة (2039-2020) عند ثبات تركيز CO₂. و 382.40 مم (بنسبة انخفاض 4.74%) وفقاً للسيناريو RCP4.5 للفترة (2059-2040) مقارنة بفترة الأساس (401.44 مم) في حالة زيادة تركيز ثاني أكسيد الكربون. أما أدنى قيمة للتبخر-نتح الفعلي كانت 351.60 مم (بنسبة انخفاض 12.42%) تحت السيناريو RCP8.5 للفترة (2059-2040) عند زيادة تركيز CO₂. و 369.00 مم (بنسبة انخفاض 8.08%) وفقاً للسيناريو RCP4.5 للفترة (2039-2020) عند زيادة وثبات CO₂ مقارنة بفترة الأساس (401.44 مم). يعزى ذلك إلى عدم استجابة المحصول للإجهاد المائي.

بينما في معاملة الري الناقص (2_a): سجل ارتفاع طفيف في التبخر-نتح الفعلي حيث بلغت أعلى القيم 365.60 مم (بنسبة زيادة 21.74%) تحت السيناريو RCP8.5 للفترة (2039-2020) عند ثبات CO₂. و 341.70 مم (بنسبة زيادة 13.79%) تحت السيناريو RCP4.5 للفترة (2059-2040) عند ثبات CO₂ مقارنة بفترة الأساس (300.30 مم). في المقابل كانت أدنى القيم 314.70 مم (بنسبة زيادة 4.8%) تحت السيناريو RCP8.5 للفترة (2059-2040) عند زيادة CO₂. و 332.70 مم (بنسبة زيادة 10.79%) وفقاً للسيناريو RCP4.5 للفترة (2039-2020) عند زيادة CO₂ مقارنة بفترة الأساس (300.30 مم). ويعود هذا التفاوت إلى استجابة المحصول للإجهاد المائي.



جدول (11) يبين التباخر-نتح الفعلي للقمح العربي المحسن خلال فترة الأساس (2023-2024) والتغير المتوقع خلال الفترات (2020-2039 و 2039-2059 و 2059-2040) ومن أجل السيناريوهين RCP8.5، RCP4.5 و عند مختلف معاملات الري.

RCP8.5				RCP4.5				السيناريو المناخي			
زيادة	ثبات	زيادة	ثبات	زيادة	ثبات	زيادة	ثبات	حالة تركيز ثاني أكسيد الكربون CO_2	سنوات الأساس	معاملات الري	المعلومة
التغيرات المتوقعة											
المستقبل المتوسط	المستقبل القريب	المستقبل المتوسط	المستقبل القريب	المستقبل المتوسط	المستقبل القريب	المستقبل المتوسط	المستقبل القريب	2024-2023	2024-2023	I ₁	التباخر-نتح الفعلي (مم)
2059-2040	2039-2020	2059-2040	2039-2020	2059-2040	2039-2020	2059-2040	2039-2020	401.44	401.44	I ₁	التغير النسبي (%)
351.60	356.70	381.40	384.60	377.10	382.40	369.00	369.00	300.30	300.30	I ₂	التغير المطلق (مم)
-12.42	-11.14	-4.99	-4.19	-6.06	-4.74	-8.08	-8.08	202.14	202.14	I ₃	التباخر-نتح الفعلي (مم)
-49.84	-44.74	-20.04	-16.84	-24.34	-19.04	-32.44	-32.44	0.72	0.72	I ₁	التغير النسبي (%)
314.70	316.90	362.90	365.60	338.90	341.70	332.70	333.90	0.67	0.67	I ₂	التغير المطلق (مم)
4.80	5.53	20.85	21.74	12.85	13.79	10.79	11.19	0.55	0.55	I ₃	التباخر-نتح الفعلي (مم)
14.40	16.60	62.60	65.30	38.60	41.40	32.40	33.60	0.58	0.58	I ₁	التغير النسبي (%)
266.00	267.10	305.60	306.20	273.00	273.90	276.20	277.00	0.74	0.74	I ₂	التغير المطلق (مم)
31.59	32.14	51.18	51.48	35.05	35.50	36.64	37.03	0.70	0.70	I ₃	التباخر-نتح الفعلي (مم)
63.86	64.96	103.46	104.06	70.86	71.76	74.06	74.86	0.69	0.69	I ₁	التغير النسبي (%)

4. الاستنتاجات:

السيناريو (RCP8.5) والسيناريو (RCP4.5) خلال الفترتين (2039-2040 و 2059-2020)، وانخفاض في التباخر-نتح الفعلي (ET_C) في نفس الفترتين مع ارتفاع تركيز (CO_2) والعكس مع ثبات تركيز (CO_2) في الغلاف الجوي تحت السيناريو (RCP8.5) والسيناريو (RCP4.5) للفترتين نفسها. بحوض صناعي وعند مختلف معاملات الري المستخدمة في التجربة (I₁), (I₂) و(I₃).

من المتوقع أن تشهد منطقة الدراسة بحوض صناعي تأثير تغير المناخ على إنتاجية القمح من جانبي، الجانب الإيجابي زيادة في إنتاجية القمح العربي المحسن بسبب ارتفاع تركيز ثاني أكسيد الكربون (CO_2) في الغلاف الجوي وزيادة درجات الحرارة. أما من الجانب السلبي فقد يؤدي إلى انخفاض القيمة الغذائية للمحصول رغم زيادة الإنتاجية المحتملة.

- في الموسم الزراعي الأول 2023 موسماً معايير نموذج (Aqua Crop) والم الموسم الزراعي الثاني 2024 موسماً تحقق من صحة النموذج تحقق أعلى قيم لإنتاجية المياه (WP_{ET}) للموسمين في معاملة الري الناقص (I₂) تراوحت بين (0.70، 0.72 طن/ m^3) على التوالي. وفي حين كانت كفاءة مياه الري (I₁) تراوحت بين (0.74، 0.67 طن/ m^3) على التوالي. وأظهرت هذه المعاملة أفضل استجابة للري الناقص حيث بلغ معامل الاستجابة للإجهاد المائي (Ky) (0.55، 0.58) على التوالي. مما يشير إلى أن الانخفاض النسبي في المحصول كان أقل من الانخفاض النسبي في كميات الري. وهذا يدل على أن الاستراتيجية المتبعة في (I₂) كانت الأكثر كفاءةً في تحقيق التوازن بين استخدام مياه الري وإنتاجية القمح العربي المحسن، مع تعزيز إنتاجية المياه (WP_{ET}).
- يتوقع أن يحدث زيادة في قيم الإنتاجية الحبية (Y)، تحت



3. بناء قدرات المزارعين من خلال تربيتهم على التكيف مع تغير المناخ، بتعديل مواعيد الزراعة (مثل الزراعة المبكرة لتجنب الإجهاد الحراري)، واستخدام بذور محسنة مقاومة للتقلبات المناخية، وإدخال نظم الري الحديثة كالتنقيط وتغطية القنوات لتقليل الفاقد في المياه. هذه التوصيات تهدف إلى تعزيز الإننتاجية الزراعية وضمان الاستدامة المائية، في حوض صنعاء الذي يعاني من ندرة الموارد المائية.

قائمة المراجع:

- [1] Bank W. Yemen: assessing the impacts of climate change and variability on the water and agricultural sectors and the policy implications. World Bank Washington, DC; 2010.
- [2] وزارة الزراعة والثروة السمكية والموارد المائية. كتاب الإحصاء الزراعي السنوي للعام. صنعاء-الجمهورية اليمنية. 2023.
- [3] FAO. The water-energy-food nexus: A new approach in support of food security and sustainable agriculture. FAO Rome, Italy; 2014.
- [4] ب. ب. حلاوة ، تقييم تأثير تغير المناخ في إنتاجية محصول الذرة باستخدام برنامج Aqua Crop في محطة بحوث المختارية في محافظة حمص [رسالة ماجستير ، جامعة البعث/كلية الهندسة المدنية قسم هندسة وإدارة الموارد المائية]. سوريا. 2022.
- [5] م. أ. السعدي، تقييم النموذج الرياضي Aqua Crop لإدارة الري الناقص لمحصول الذرة الصفراء (*Zea mays L.*) [رسالة ماجستير، جامعة دمشق، كلية الزارعة، قسم الهندسة الريفية]. سوريا. [ملخص الرسالة]. 2022.
- [6] A.G. Tirfi, and A.S. Oyekale. Impact of climate change on yields of wheat in Ethiopia: An augmented Cobb-Douglas production function approach. *Journal of Agricultural, Food and Environmental Sciences, JAFES*. 2022;76(1):34-47.
- [7] M.B. Aghajanloo, and J. Nikbakht. Simulation and Assessment of AquaCrop Model in deficit irrigation management of Winter Wheat in Zanjan Region. *Water and Soil Science*. 2023;33(2):23-34.
- [8] S. Kale, and S. Madenoğlu, Evaluating AquaCrop model for winter wheat under various

• عند مقارنة القيم المتوقعة مع القيم المقاسة لصفتي الإنتاجية الحبية والكتلة الحيوية للموسمين الزراعيين (2023-2024م) اظهر نموذج Aqua Crop كفاءة ودقة عالية وتطابقاً تماماً بين القيم المحاكاة والمقاسة، حيث تراوحت قيم مؤشر التوافق (d) خلال الموسمين الزراعيين 2023-2024م لصفتي الإنتاجية الحبية والكتلة الحيوية بين (99,99)، (97,96) (%) على التوالي بينما تراوحت القيم لمعامل الارتباط (R^2) بين (99,99)، (95,93) (%) على التوالي وهو ما يعزز موثوقيته في التخطيط لإدارة الري.

5. التوصيات:

أظهرت نتائج البحث أن نموذج Aqua Crop - بعد معايرته - يُعد نموذجاً فعالاً وواعداً لتحليل كفاءة إدارة الري وتخططيه، حيث يجمع بين الدقة والبساطة في التطبيق. وفي ضوء ذلك، تقدم الدراسة التوصيات التالية:

1. تعميم استخدام نموذج Aqua Crop حيث يمكن تطبيقه في بيئات مناخية وزراعية متعددة، ومع محاصيل وأصناف مختلفة.
2. ترشيد استخدام المياه بتطبيق طريقة الري الناقص (بنسبة 75% من الاحتياج الكامل) ، في المناطق الشحيلة للمياه في اليمن عامة وحوض صنعاء خاصة، حيث أظهرت النتائج أن الانخفاض في الإنتاجية أقل من الانخفاض في كميات الري، مما يزيد من كفاءة إنتاجية المياه (WP_{ET}). مع إمكانية تحقيق توازن بين توفير المياه والمحافظة على الإنتاجية ويمكن لاستراتيجيات الري المدرستة خاصة معاملة الري الناقص (I_2) رفع كفاءة استخدام المياه مع تقليل الخسائر الإنتاجية بشكل مقبول. مما يزيد من العائد لكل متر مكعب من مياه الري.



- [17] E.A. Ainsworth, and S.P. Long.What have we learned from 15 years of free-air CO₂ enrichment (FACE)? A meta-analytic review of the responses of photosynthesis, canopy properties and plant production to rising CO₂. *New phytologist*. 2005;165(2):351-72.
- [18] P. Steduto, T.C. Hsiao, D. Raes, and E. Fereres, *Crop yield response to water*: fao Rome, Italy; 2012.
- [19] وزارة الزراعة والري. الدليل الزراعي - المرتفعات الوسطى.صنعاء-الجمهورية اليمنية-. 2001.
- [20] D. Raes, P. Steduto, T.C. Hsiao, and E. Fereres, Reference manual of AquaCrop Version 7.1 Annexes. Rome: Food and Agriculture Organization .2023.
- [21] R.G. Allen, L.S. Pereira, D. Raes, and M. Smith, Crop evapotranspiration: Guidelines for computing crop water requirements. FAO Irrigation and Drainage Paper No. 56. Rome: Food and Agriculture Organization .1998.
- [22] F. Windmeijer, and A.C. Cameron, An R-squared measure of goodness of fit for some common nonlinear regression models. *Journal of Econometrics*, 1995.77, pp. 329–342.
- [23] R.G. Pontius, O. Thontteh, and H. Chen, Components of information for multiple resolution comparison between maps that share a real variable. *Environmental and ecological statistics*. 2008;15(2):111-42.
- [24] T. O. Hodson, Root-mean-square error (RMSE) or mean absolute error (MAE): when to use them or not. *Geoscientific Model Development*, 2022.15(14), 5481- 5487.
- [25] C.J. Willmott, S.M. Robeson, and K. A. Matsuura, refined index of model performance. *International Journal of Climatology*, 2013. 33 (4), pp. 1053–1056
- irrigation conditions in Turkey. *Journal of Agricultural Sciences*. 2018;24(2):205-17.
- [9] N. Dercas, N.R. Dalezios, S. Stamatiadis, E. Evangelou, A. Glampedakis, G. Mantonanakis, et al. AquaCrop simulation of winter wheat under different N management practices. *Hydrology*. 2022;9(4):56.
- [10] Y.O. Nematallah, and A.A. Kasem, Assessment of Aqua Crop model in simulating wheat crop water use and productivity in Middle Egypt. *Middle East Journal of Applied Sciences*, 2021.11 (3), pp. 500–510 .
- [11] ، ر. ز.الدريعي ، أ. ك. جناد. ، ي.م. نمر. تقييم النموذج الرياضي لإدارة الري الناقص لمحصول الذرة البيضاء. *مجلة جامعة دمشق للعلوم الزراعية*، 40(2)، 330-317. 2025.
- [12] D. Hassan, A. Ati, A. Naima, Evaluation of the performance of the AquaCrop model under different irrigation and cultivation methods and their effect on water consumption. *Iraq Journal of Agricultural Sciences*, 2023.54(2), 4(2), pp. 478–490.
- [13] ع. ع.سيف، ح. ح.الأشول، وع. ع. الخرساني، التغيرات المناخية وأثرها في إنتاجية بعض المحاصيل الاقتصادية في الجمهورية اليمنية. *المجلة السورية للبحوث الزراعية*، 3 (7) 2020، 246 – 258.
- [14] الإسکوا. تقييم تأثير التغيرات في المياه المتاحة على إنتاجية المحاصيل الزراعية. تقرير دراسة الحال في الأردن، السودان، العراق، المغرب، اليمن، تونس، لبنان وفلسطين. اللجنة الاقتصادية والاجتماعية لغربي آسيا. للأمم المتحدة. 2019.
- [15] E. Bouras, L. Jarlan, S. Khabba, S. Er-Raki, A. Dezetter, F. Sghir, and Y. Tramblay. Assessing the impact of global climate changes on irrigated wheat yields and water requirements in a semi-arid environment of Morocco. *Scientific Reports*. 2019;9(1):19142.
- [16] S. Asseng, F. Ewert, P. Martre, R.P. Rötter, D.B. Lobell, D. Cammarano, B.A. Kimball, M.J. Ottman, G.W. Wall, J.W. White, M.P. Reynolds, Alderman, P.D., Prasad, P.V.V., Aggarwal, P.K., Anothai, J., Basso, B., Biernath, C., Challinor, A.J., De Sanctis, G., ... and Zhu, Y. Rising temperatures reduce global wheat production. *Nature climate change*. 2015;5(2):143-7.